

神戸大学工学部 正員○輕部大藏  
復建調査設計 K.K. 寺井久史

### 研究の目的

礫やロック材などの高压下におけるせん断挙動を一般に普及している低圧・小型の三軸圧縮試験機を用いて推定することが研究の目的である。これらの材料は大型の高压三軸試験機を用いるのが最も良いことは勿論であるが、一般的労力・時間・費用がかかるので粗粒土のように日常的試験として行ないにくい。そこで、これら粗粒材料のせん断特性を通常の試験機を用いて推定する方法を若干の考察と実験によって検討した。

### 予備的考察

まず、低圧下における土のせん断特性についてわかっている事柄のうちで高压下の粗粒材料のせん断特性に関する部分を整理すると、土要素のせん断特性は要素を構成する土粒子の表面の性状(摩擦係数  $\tan \phi_{\text{c}}$ )と巨視的な変位特性(タイレイタンシー)に支配されるものである。前者については、Caquot や Bishop が土要素の残留せん断抵抗角  $\phi_r$  と表面摩擦係数  $\tan \phi_{\text{c}}$  の間に成立する簡単な式を提案している。

後者については土要素の応力・ひずみ関係式が  $\phi_r$ ,  $C_c$ ,  $C_s$  などの力学定数と  $I_p$  などの物理定数をパラメータとして組み立てられており、これは構成方程式と呼ばれるもので多くの式が提案されているが、大抵の式は意識的に、あるいは結果的に、土要素に出入するエネルギーの釣合式を利用して導かれている。つまり土要素に外部から加えられる仕事分  $\delta E'$  は、内部的に消費される塑性仕事分  $\delta W$  と弾性的に蓄えられるエネルギー  $\delta U$  の和に等しいと考えて  $\delta E' = \delta W + \delta U$  (1)

簡単のために、軸対称圧縮状態 ( $\sigma_1 = \sigma_2 = \sigma_3$ ) における等方材料 ( $\delta \varepsilon_1 = \delta \varepsilon_3$ ) について考えると、 $\gamma = \sigma_1 - \sigma_3$ ,  $p = (\sigma_1 + 2\sigma_3)/3$ ,  $\eta = \gamma/p$ ,  $\varepsilon = \varepsilon_1 - (\nu/3)$ ,  $\nu = \varepsilon_1 + 2\varepsilon_3$  において

$$(\gamma P \delta \varepsilon + p \delta \nu) = \delta W + (\eta p \delta \varepsilon^e + p \delta \nu^e) \quad (2)$$

ここに添字  $e$  は弾性成分を表わす。上式において、 $\lambda = C_s/2.3$ ,  $e_1$ : 基準隙隙比,  $M$  を  $\phi_r$  に対応する  $\lambda$  とし、 $\delta \nu^e = \{\lambda/(1+e_1)\} \delta P$ , また  $\delta \varepsilon^e = 0.166 M^{1.5} \delta \varepsilon$  (文献1) とおくと、

$$\gamma = \frac{1}{1-0.166 M^{1.5}} \left\{ -\left(\frac{\delta \nu}{\delta \varepsilon}\right) + \left(\frac{\delta P}{1+e_1} \cdot \frac{\delta P}{\delta \varepsilon}\right) + \frac{\delta W}{p \delta \varepsilon} \right\} \quad (3)$$

一方、実験的には、 $\gamma = -a(\delta \nu / \delta \varepsilon) + b$  (4)

という直線関係が、三軸試験の全領域について成立する。同様の式は初期隙隙比や側圧を変えた三軸試験のピーコ强度 ( $\gamma_{\text{peak}}$ ) までも成立している。したがって、式3, 4を組み合わせると

$$\delta W = \{1 - a(1 - 0.166 M^{1.5})\} p d \nu + (1 - 0.166 M^{1.5}) b p d \varepsilon \quad (5)$$

が得られる。

さて、高压下で土がせん断されるときは土粒子は著しく破碎され、この傾向は大きな粒子ほど著しいと思われる。したがって、高压下でも式(4)が成立するかどうか疑問が生じる。この点について、三浦氏は高压下の豊浦砂について式(4)が成立することを示された(文献2)。高压下における式4の定数  $a$ ,  $b$  が低压下にも適用できるかどうかを同じ論文のデーターから計算してみると、ある側圧を境にして急激に破碎が生じているにもかかわらず、 $a$ ,  $b$  はすべての圧力を通じて一定値を保っていることがわかった。(この事実は、粒子破碎に伴うエネルギー消費分が、破碎に至るまでに蓄えられた弾性エネルギーの放出でまかねわれていることを示している。) つぎに、同じ鉱物でも粒径が違えば、式4の定数が変化することが考えられる。ところが、式5を見ると  $b$  は粒子表面の摩擦係数  $\tan \phi_{\text{c}}$  の地位を占めている。表面摩擦係数は粒径にはよらないから、定数  $b$  は粒径に

よって変化しないと仮定できるであろう。以上の考察から、少なくともピーク強度については研究目的は次の方法で達せられる可能性があると思われる。

### 粗粒材料の高圧下におけるせん断強度の推定法(仮説)

いくつかの材料について、ロサンゼルスすり減り試験法など、すでに規格化されていて、容易に行える方法で「破碎され易さ」を定量化し、それらについて広い側圧範囲に亘って三軸試験し、ピーク強度における $(\delta v/\delta \varepsilon)_{peak}$ を実測する。試験結果を「破碎され易さへ側圧へ $(\delta v/\delta \varepsilon)_{peak}$ 」関係にまとめると、これは標準曲線とも呼べるもので、たとえば図-4のようまとめ、式6のように表示される。一度この標準曲線が作られると、個々の与えられた材料の高圧下におけるピーク強度は、つきの様な手順で推定される。(i) 材料の破碎され易さを規定の試験法で求める。標準曲線から側圧に応じた $(\delta v/\delta \varepsilon)_{peak}$ を読みとる。(ii) 手近かず三軸試験機に適用できる範囲に沿うまで材料を粉碎し、側圧のもとで式4の定数a, bを実測する。(iii) 式4に $(\delta v/\delta \varepsilon)_{peak}$ とa, bを代入して $\sigma_{peak} = \text{ピーク強度}$ を得る、ということにする。

### 予備的実験

大型三軸も高圧三軸も手許にないので、低圧でも粒子破碎を起すといわれているマサ土ヒシラス及び硬い粒子から成る豊浦砂の3種を通常の三軸試験機でCD試験した。試料の粒度分布は図-1に示す通りである。また、ロサンゼルスすり減り減量は、豊浦砂1.9%, ヒシラス14.0%, マサ土16.3% (ただし、JIS A 1121では、1.7mmふるい残量から求めると、ここでは0.105mmふるい残量から

求めた)である。三軸試験は飽和・ゆる詰め状態で行った。供試体寸法は高さ80mm、直径50mm、初期隙隙比は(圧密後)豊浦砂0.65, ヒシラス0.65, マサ土0.35付近であった。ヒシラスとマサ土は圧密に長時間を要したので、軸圧縮速度は0.1%/minとした。図-2は $\sigma_{peak}$ と $(\delta v/\delta \varepsilon)_{peak}$ の関係を示しているが、実験技術のためか乱れている。図-3は $(\delta v/\delta \varepsilon)_{peak}$ を側圧の平方根目盛に対してもプロットしたものであり、図-4は同じ結果を内挿法ですりへり減量( $\Delta W/W$ )の平方根目盛に対してプロットしたものである。図-3, 4より

$$(\delta v/\delta \varepsilon)_{peak} = 0.26 \log_{10}(\sigma_3/\sigma_0) + 0.17 \sqrt{\Delta W/W} - 0.75 \quad \dots (6)$$

という標準曲線の式が一応得られるが、低圧しか行なっていない以下の手順を本す例程度の意味しかよいい。なお、ヒシラスは鹿児島大学の春山先生にいただいた。感謝します。

- 文1) 矢後ほか、第33回土木学会  
文2) 三浦・山内、土木学会論文

報告集260号

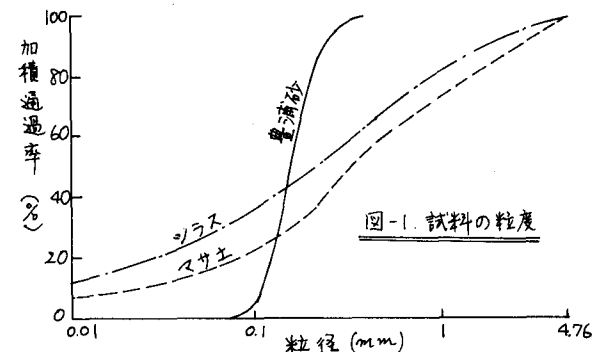


図-1. 試料の粒度

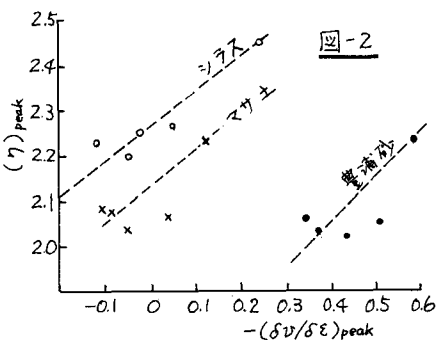


図-2

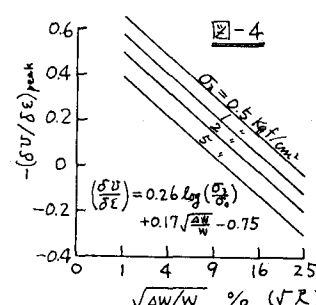


図-4

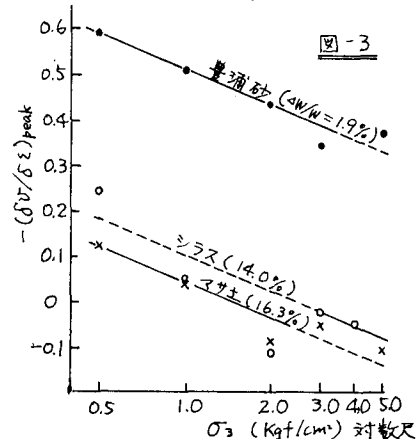


図-3